

**C-3-108 PMMA/MgF<sub>2</sub>系3次元光導波路のスラブモード展開による解析  
—構成スラブモード振幅の考慮スラブモード数に対する収束性—**

**Analysis of PMMA/MgF<sub>2</sub> 3D Optical-waveguide by Slab-mode Expansion  
- Convergence behavior of slab mode amplitude vs mode order with mode number -**

杉山 順

Jun Sugiyama

西村 秀臣

Hideomi Nishimura

平岡 隆晴

Takaharu Hiraoka

許 瑞邦

Hsu, Jui-Pang

神奈川大学工学部電気工学科

Department of Electrical Engineering, Kanagawa University

**1. はじめに** 前回、3次元光導波路のスラブモード展開より導出される光平面回路方程式に基づいて、実効屈折率・電磁界分布の考慮スラブモード数に対する収束性について解析・検討した。今回は、3次元光導波路動作時の各スラブモード振幅に対する同様の収束性を検討したので報告する。

**2. 解析モデル** 3次元光導波路構造を図1に示す。バッファ層はMgF<sub>2</sub>(厚さ:1.0μm,n<sub>b</sub>=1.38)、導波路部分はPMMA(厚さ:0.5μm,n=1.49)、空気層はAir(厚さ:1.0μm)の3層構造、導波路幅W<sub>1</sub>を2.0μm、全体の幅W<sub>d</sub>を4.0μmとした。連続スペクトルの離散化を図るために上下左右に金属壁を仮定した。

**3. 解析方法** 光平面回路方程式に基づき、3次元光導波路を等価回路に置き換え解析した。3次元光導波路は左右対称を仮定し導波路内部領域(#1)と導波路外部領域(#2)の2つの領域に分け、各領域でスラブモード展開及び、境界での電磁界接線成分での連続条件より、図2に示すTE,TM多線条等価回路が得られる。具体的に領域1と領域2で高さ方向固有モード関数を求め、図2の内側壁(1.2)より外側を見た実効壁モードアドミタンス( $\bar{Y}$ )及び、内側壁より内側を見たモードアドミタンス( $\bar{Y}$ )を実効屈折率の関数として求め、モード整合方程式 $(\bar{Y} + \bar{Y}) \cdot v = 0$ より、実効屈折率・スラブモード振幅が計算できる(今回は対称面で電気壁を仮定)。図2の等価回路でTE,TM多線条線路のモード数を有限個で打ち切らざるを得ないので考慮スラブモード数に対する解の収束性を今回計算した。

**4. 解析結果** 考慮モード数に対する3次元光導波路低次の実効屈折率の収束性を図3に示す。3次元光導波路の1番目のモード( $\beta_{n=1}/k_0=1.42771$ )におけるTE,TMスラブモード次数に対する振幅の収束性を考慮スラブモード数をパラメータとして図4(a)に示し、特に○印(TEスラブモード1番目)及び、△印(TMスラブモード5番目)の振幅の収束性を図4(b),(c)に示す。また、3次元光導波路で図4に対応した基本モード( $n=1$ )の電磁界分布を図5に示す。

**5. 結び** 今回は3次元光導波路動作時のスラブモード振幅・モード次数特性が考慮スラブモード数に対して収束することを確認した。今後、3次元光導波路解析精度の向上及び、3次元光導波路不連続問題を取り扱う予定。

参考文献：西村 杉山 許「PMMA/MgF<sub>2</sub>系3次元光導波路の高さ方向固有モードによる電磁界解析」1997年春期電子情報通信学会総合大会 C-3-170

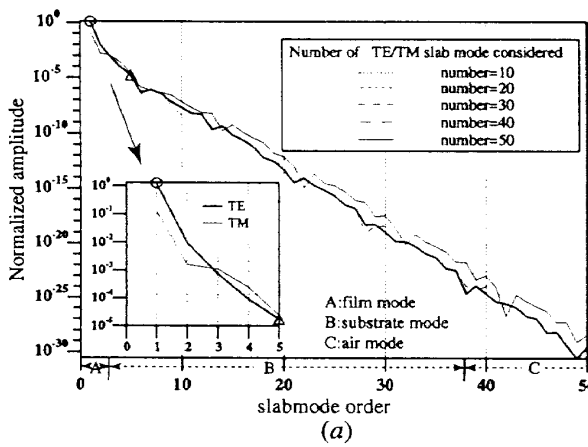


図4 3次元光導波路基本モード( $n=1$ )のslabmode振幅対モード次数の収束性

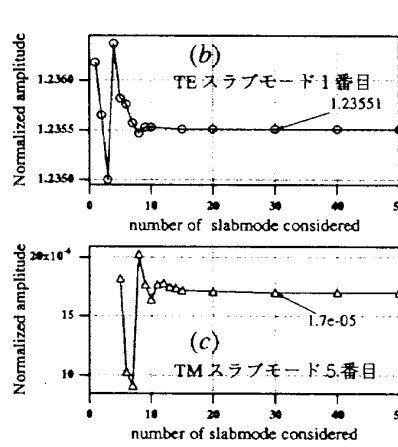


図4 3次元光導波路基本モード( $n=1$ )のslabmode振幅対モード次数の収束性

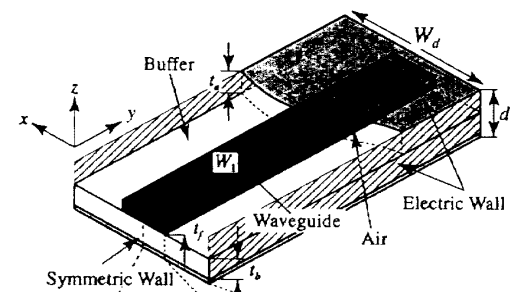


図1 3層構造解析モデル

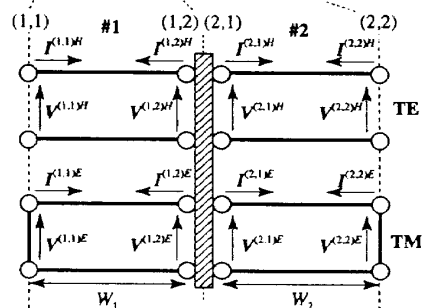


図2 TE,TM modeによる多線条等価回路

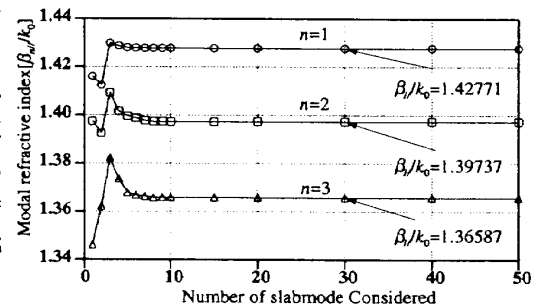


図3 実効屈折率の収束性

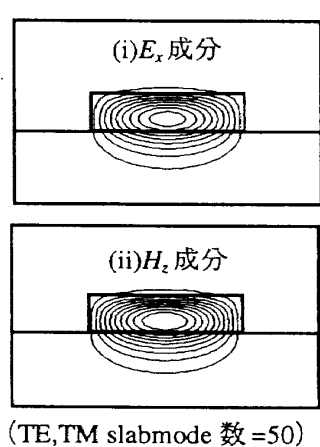


図5 基本モード( $n=1$ )の電磁界分布